

脑源性神经营养因子受体 trkB 基因扩增和真核表达载体的构建

黄 涛¹袁余如祥¹袁雷²姜晓丹¹袁晓忠²袁建强²袁余 磊²袁许 忠¹袁渊第一军医大学珠江医院神经外科袁广东 广州 510282 袁第一军医大学临床解剖学研究所袁广东 广州 510515 袁

摘要 目的 构建大鼠脑源性神经营养因子受体 trkB 基因真核表达载体。方法 根据 trkB 基因已知序列设计合成一对引物，上游引物分别引入 EcoR I 和 BamH I 位点，用反转录 PCR 和 T-PCR 方法从大鼠脑组织总 RNA 中扩增编码 trkB 的基因片断，插入克隆载体 pMD 18-T，构建 pMD 18-trkB 载体。结果经 EcoR I 和 BamH I 双酶切出 trkB 基因片断，再克隆至载体 pEGFP-C2 中构建 pEGFP-C2-trkB 真核表达载体。结论 trkB 基因 RT-PCR 扩增产物大小约 1461 bp，真核表达载体经酶切鉴定表明为正确重组子。基因测序结果与已知序列基本吻合。成功扩增出完整 trkB 基因并构建了真核表达载体 pEGFP-C2-trkB。

关键词 脑源性神经营养因子 基因表达 重组 遗传分子克隆

中图分类号 R394.2 文献标识码 A 文章编号 1000-2588(2003)12-1283-03

Amplification of brain-derived neurotrophic factor receptor trkB gene and construction of its eukaryotic expression vector

HUANG Tao¹, XU Ru-xiang¹, WU Lei², JIANG Xiao-dan¹, QIU Xiao-zhong², QIN Jian-qiang², YU Lei², XU Zhong¹

¹Department of Neurosurgery, Zhujiang Hospital, First Military Medical University, Guangzhou 510282, China;

²Institute of Clinical Anatomy, First Military Medical University, Guangzhou 510515, China

Abstract: Objective To construct a recombinant eukaryotic expression vector of rat brain-derived neurotrophic factor receptor trkB gene. Methods Using the total RNA extracted from rat brain tissue as the template, the trkB gene was amplified by reverse transcription-polymerase chain reaction (RT-PCR) with a pair of specific primers containing the restriction sites of EcoR I and BamH I. The amplified fragment of trkB gene was digested with EcoR I and BamH I, and then subcloned into cloning vector pMD18-T and then expression vector pEGFP-C2. The recombinant plasmid was identified by restriction endonuclease analysis and PCR. Results The amplified DNA fragment was about 1461 bp in length, and enzyme digestion and PCR analysis showed that trkB gene had been successfully cloned into the vectors pMD18-T and pEGFP-C2. Conclusion The trkB gene of rat has been successfully amplified and cloned into the eukaryotic expression vector pEGFP-C2.

Key words: brain-derived neurotrophic factor; gene expression; recombination, genetic; cloning, molecular

脑源性神经营养因子^袁 brain-derived neurotrophic factor, BDNF^袁于 20 世纪 80 年代被发现后^袁受到人们的广泛关注和研究^袁。BDNF 是神经营养因子家族的主要成员之一^袁。在胚胎发育过程中^袁，它可诱导神经前体细胞的定向分化^袁，促进神经系统的成熟和完善^袁。在成体^袁，BDNF 则表现出广泛的神经营养和神经保护活性^袁。它可促进神经元对葡萄糖等能量物质的利用^袁，提高细胞 Na^+/K^+ -ATP 酶的活性^袁，进而增加 Na^+ 依赖性氨基酸的转运^袁，增强细胞内功能蛋白的合成和利用^袁。对神经元的存活及正常生理功能的维持有着重要的影响^袁。该因子对运动神经元^袁、胆碱能神经元^袁、

收稿日期 2003-09-23

基金项目 广东省科技计划项目^袁003A3020304 袁广东省团队项目^袁，[粤科基办] 2000 袁 5 袁军队十五重点项目^袁1ZD54 袁

Supported by Sci-Tech Development Plans of Guangdong Province^袁003A3020304 袁 Team Research Project of Guangdong Province and Key Project Foundation of the Tenth Five-year Plan of PLA^袁1ZD54 袁

作者简介 黄涛^袁，男，安徽颍上人，袁 998 年毕业于第一军医大学^袁，在读博士研究生^袁，电话^袁20-61643270 袁，E-mail: arteries@263.net

及多巴胺能神经元等的作用尤为明显^袁。因而^袁人们认为将 BDNF 用于帕金森病^袁、阿尔茨海默病及脑^袁髓损伤等疾病的治疗有着广阔的前景^袁。BDNF 作用的发挥主要是通过其高亲和力受体 trkB 完成的^袁。trkB 是细胞膜受体^袁，神经系统的不同部位^袁，细胞膜上 trkB 含量不同^袁，这也决定了它们对 BDNF 的反应敏感性不同^袁。应用分子克隆的方法将 trkB 基因导入病损局部的神经细胞^袁，提高 trkB 的表达水平^袁，增强它们对 BDNF 的敏感性^袁。对于 BDNF 治疗作用的发挥有着重要意义^袁。本实验从大鼠脑组织中提取总 RNA^袁，应用反转录聚合酶链式反应方法^袁，T-PCR^袁，获得 trkB 全长基因片断^袁。通过酶切^袁，纯化^袁，连接等重组方法^袁，构建了带有目的片断的克隆及真核表达重组质粒^袁，为 trkB 基因治疗的进一步研究提供了基础^袁。

1 材料和方法

1.1 材料

1.1.1 载体与菌株 pMD 18-T 载体试剂盒为宝生物

工程公司产品真核表达载体 pEGFP-C2 由第一军医大学解剖教研室王万山博士惠赠真 M109 菌株及 DH5_{E. coli} 为第一军医大学临床解剖学研究所保存。

1.1.2 试剂 Trizol 试剂为 Gibco 公司产品真 T-PCR 试剂盒 One Step RNA PCR Kit 真 AMV 真限制性内切酶 EcoR 玉及 BamH 玉真 DNA Marker DL 2000 真 DNA Marker DL 15000 真质粒提取试剂盒真 agarose Gel DNA Purification Kit 试剂盒均为宝生物工程公司产品真。DNA 连接酶为 New England BioLabs 公司产品真 X-gal 及 IPTG 为 Sigma 公司产品。

1.1.3 仪器 PCR 仪真 JNO 域 Biometra 真德国真低温离心机真 Heraeus 真 Bio-Rad 电泳仪及电泳槽真美国真 01-1 电热培养箱 真上海真 W-CJ-1F 净化工作台 真江苏苏州真 THZ-C 恒温振荡器 真江苏太仓真 ZF-90 型紫外透射仪 真上海真。

1.1.4 实验动物 14 d 龄 Wistar 大鼠由第一军医大学实验动物中心提供。

1.2 方法

1.2.1 引物设计合成 从 GenBank 检索大鼠 trkB 基因真对基因全长真 promer 软件设计两端引物真上游引物真 CGGAATTCTATGTCGCCCTGGCCGAGGT G3' 真下游引物 5' CGGGATCCCAGCCTTGTCTTCC TTTATCT3' 真上游引物 5' 端分别包含 EcoR 玉和 BamH 玉限制性内切酶酶切位点真扩增产物为 1461 bp 真引物由上海博亚生物技术有限公司合成。

1.2.2 脑组织总 RNA 提取 取 14 d 龄 Wistar 大鼠真引颈处死真浸入 75% 酒精 5 s 真无菌条件下取出完整的脑组织真放入组织匀浆器真参照 Trizol 试剂说明提取 RNA 真紫外分光光度仪测定 RNA 浓度真琼脂糖凝胶电泳证实 RNA 无降解。

1.2.3 RT-PCR 取所提取的总 RNA 进行 RT-PCR 真反应体系参照 One Step RNA PCR Kit 真 AMV 真试剂盒说明真 2 益 50 min 反转录真 7 益 5 min 灭活反转录酶 AMV 真然后 94 益 1 min 真 5 益 1 min 真 2 益 2 min 真 0 个循环真 最后 72 益 10 min 真另设一阴性对照真以 dH₂O 代替样品 RNA 真余相同真反应结束后真取反应液 5 滴于 1% 琼脂糖凝胶电泳真紫外透射仪观察结果。

1.2.4 克隆载体 pMD 18-trkB 的构建及鉴定 取 RT-PCR 反应液 45 滴真琼脂糖凝胶电泳后真用 Agarose Gel DNA Purification Kit 试剂盒真割胶纯化目的基因片断真按 pMD 18-T 载体试剂盒说明真将目的基因连接至 pMD 18-T 克隆载体真取 10 滴连接液加入 100 滴感受态 JM109 菌中真常规方法转化后真取 200 滴转化菌涂布于表面涂有 X-gal 和 IPTG 的琼脂糖平板真含 50 滴/ml 氨苄青霉素真 7 益过夜培养真。

挑取白色菌落并扩增后真参照质粒提取试剂盒说明提取质粒真用 EcoR 玉和 BamH 玉酶切鉴定真并以质粒为模板真用 trkB 特异性引物进行 PCR 真筛选出含有 pMD 18-trkB 重组质粒的菌落。

1.2.5 真核表达载体 pEGFP-C2-trkB 的构建及鉴定

分别用 EcoR 玉和 BamH 玉双酶切载体 pMD 18-trkB 和真核表达载体 pEGFP-C2 真用 Agarose Gel DNA Purification Kit 试剂盒提取纯化 trkB 基因和线性化的 pEGFP-C2 真根据 T₄ DNA 连接酶说明书配制连接反应体系真 6 益温育过夜真连接产物按常规方法转化 DH5_{E. coli} 菌感受态真取 200 滴转化菌涂布于含 30 滴/ml 卡那霉素的琼脂糖平板真 7 益培养过夜真挑取存活的菌落真扩增并提取质粒真用 EcoR 玉和 BamH 玉双酶切鉴定后真交上海博亚生物技术有限公司测定重组质粒中目的基因的序列。

2 结果

2.1 RT-PCR

将 RT-PCR 产物进行琼脂糖凝胶电泳真可见一约 1500 bp 的特异扩增带真与理论预期值真 461 bp 真致真阴性对照组无片断扩出。

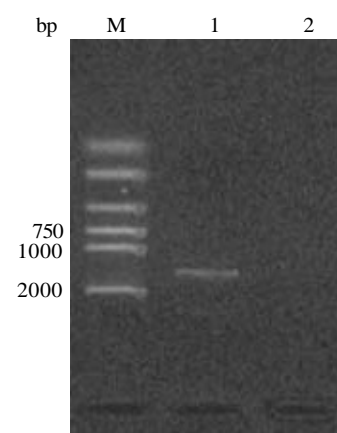


图 1 RT-PCR 结果

Fig.1 Result of RT-PCR
M: DNAMarkerDL2000;
Lane1:RT-PCRproduct;
Lane2:Negative control

2.2 克隆载体 pMD 18-trkB 的鉴定

挑取白色菌落扩增真提取质粒后真用 EcoR 玉和 BamH 玉双酶切真琼脂糖凝胶电泳后观察真阳性菌落所提取的质粒真 pMD18-T 载体真切后真见一约 2600 bp 的条带真这与 pMD18-T 载体真 692 bp 真大小相符合真重组质粒真 pMD18-trkB 真切后真见约 2600 真 1500 bp 两条带真分别与 pMD18-T 载体及 trkB 基因大小一致。

分别以假阳性菌落质粒和重组质粒为模板真用 trkB 特异引物进行 PCR 后真电泳观察结果真可见以重组质粒为模板能扩增出约 1500 bp 的片断真与目的基因大小一致。

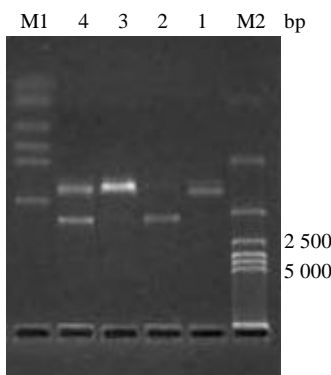


图 2 pMD 18-trkB 载体构建的凝胶电泳分析
Fig. 2 Gel electrophoresis of the constructed pMD 18-trkB vector

M1: DNA Marker DL 2000; M2: DNA Marker DL 15000; Lane 1: pMD 18-T; Lane 2: pMD 18-T /EcoR I+BamH I; Lane 3: pMD 18-trkB; Lane 4: pMD 18- trkB/EcoR I+BamH I

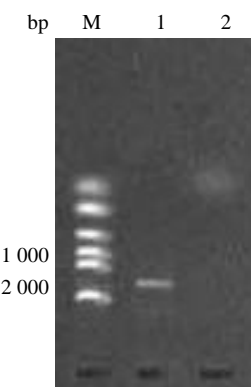


图 3 克隆载体 pMD 18-trkB 的 PCR 鉴定
Fig.3 Identification of pMD 18-trkB vector by PCR
M: DNA Marker DL 2000; Lane 1: PCR product of pMD 18-trkB; Lane 2: PCR product of pMD 18-T empty vector

2.3 真核表达载体 pEGFP-C2-trkB 的鉴定

经卡那霉素筛选后扩增存活菌落提取质粒，酶切后电泳观察可见假阳性菌落所含质粒与 pEGFP-C2 空载体在琼脂糖中迁移较重组质粒稍快。酶切后仅在约 5000 bp 处见一条带，与 pEGFP-C2 大小基本一致。在 pEGFP-C2 载体上 EcoR I 和 BamH I 酶切位点间约有 20 bp，酶切后可见两条带，大小约 5000 和 1500 bp，分别与 pEGFP-C2 及 trkB 大小相一致。^{图 4}

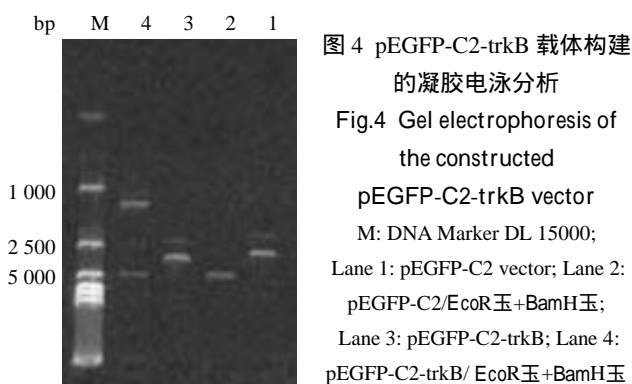


图 4 pEGFP-C2-trkB 载体构建的凝胶电泳分析
Fig.4 Gel electrophoresis of the constructed pEGFP-C2-trkB vector
M: DNA Marker DL 15000;
Lane 1: pEGFP-C2 vector; Lane 2: pEGFP-C2/EcoR I+BamH I;
Lane 3: pEGFP-C2-trkB; Lane 4: pEGFP-C2-trkB/EcoR I+BamH I

测序结果表明袁插入的大鼠 trkB 基因序列与 Genbank 登录的 cDNA 序列相同袁与绿色荧光蛋白 GFP 报告基因同框表达。

3 讨论

将神经营养因子及其受体的基因转染至病损处神经细胞或转染雪旺细胞或神经干细胞后再用于移植袁是组织工程及基因治疗神经系统疾病的主要思路。构建带有目的基因的真核表达载体往往是整个过程的难点。理想的载体是在转染细胞后目的基因能长期表达，并使细胞易于筛选和标记追踪。目前文献中所提及的 trkB 真核表达载体转染细胞后多用 G418 进行筛选袁但往往缺乏有效的标记来追踪阳性细胞。本研究中我们选用 pEGFP-C2 载体袁该载体带有 Neor 基因和 GFP 报告基因袁构建 pEGFP-C2-trkB 转染细胞后可用 G418 筛选纯化阳性细胞。同时袁 trkB 基因被同框克隆于 GFP 报告基因下游袁直接通过荧光显微镜即可观察到被转染细胞的形态袁明确质粒的转染效率及目的基因的表达情况。

在 RT-PCR 扩增 trkB 基因过程中袁我们采用的是一步法 RT-PCR袁即反转录与 PCR 反应在同一体系中连续完成。trkB 基因相对较长袁接近 1500 bp袁我们经多次实验袁将反转录温度设定为 42 益袁这一温度较常用温度 40 益袁更有利于 cDNA 链的延伸。袁反转录结束后袁反转录酶灭活是否充分对下一步 PCR 反应效率的影响很大袁反转录酶与 cDNA 结合可直接阻碍 PCR 反应的进行袁在长链 cDNA 扩增中尤为明显袁我们设定 97 益袁 min 对该酶进行了充分的灭活。另外袁在 RT-PCR 反应体系的配制中袁 RNA 模板量的多少也很关键袁常用紫外分光光度仪检测 RNA D_{260/280} 值袁当其 D_{260/280} 值为 1.9 左右时袁一般加 1 滴较为合适袁我们体会 RNA 模板量应适当少勿多。袁 RNA 量过多会增加非特异性扩增的几率。

通过本研究袁我们构建了 pEGFP-C2-trkB 真核表达载体袁至于该载体转染细胞效率及其目的基因表达的情况袁还需进一步研究明确。

参考文献院

- 1 Katz DM. Neuronal growth factors and development of respiratory control. *Respir Physiol Neurobiol*, 2003, 135(2-3): 155-65.
- 2 Burkhalter J, Fiumelli H, Allaman I, et al. Brain-derived neurotrophic factor stimulates energy metabolism in developing cortical neurons. *J Neurosci*, 2003, 23(23): 8212-20.
- 3 Shen L, Figurov A, Lu B. Recent progress in studies of neurotrophic factors and their clinical implications. *J Mol Med*, 1997, 75(9): 637-44.
- 4 Pezet S, Malcangio M, McMahon SB. BDNF: a neuromodulator in

后^袁D4⁺ 及 CD8⁺ 初始 T 细胞产量增加趋势较为明显^而 BMT 与 PBSCT 相比较而言^袁前者的 CD4⁺ 及 CD8⁺ 初始 T 细胞增长明显不如后者迅速^袁即接受 PBSCT 患者的免疫重建恢复较 BMT 的患者要显著^曰 总体而言^袁接受移植之后的患者^袁D4⁺CD45RA⁺ 的细胞恢复缓慢^袁 CD8⁺CD45RA⁺ 细胞在 1 个月之内便可达到移植前水平^遥

NK 细胞是淋巴细胞中最先被移植^袁也是最快恢复的^遥T 细胞虽也是很快被移植^袁但 CD3⁺T 细胞在恢复到正常水平前至少需要 6~9 个月时间^袁而这些 CD3⁺T 细胞主要包含的是 CD8⁺T 细胞^袁D4⁺T 细胞水平在 BMT 1 年后都偏低^咱^袁这与我们的研究结果相一致^遥而初始 T 细胞^袁D4⁺CD45RA⁺ 也偏低^袁说明新生移植 T 细胞最初阶段主要是来源于干细胞输注的成熟 T 细胞的增生^袁而不是从造血祖细胞中分化的新生 T 细胞^袁这一结论与 Mette 等^咱进行的研究不谋而合^袁同时也与先前所证实的在移植后早期存在一种非常有限的 TCR 重排过程是相一致的^咱^袁而 CD8⁺CD45RA⁺ 细胞在一个月之内恢复到正常水平^袁 CD4⁺CD45RA⁺ 细胞在 6~12 个月后开始提高^袁表明从未分化的造血祖细胞中产生的新生 T 细胞^袁有助于移植后 T 细胞免疫功能的恢复^袁同时也显示了经过大剂量治疗后的胸腺^袁依然维持着促进成人 T 细胞免疫重建的能力^遥

Allo-HSCT 的患者不可避免受到移植植物抗宿主病的影响^袁其胸腺恢复能力自然不如 auto-HSCT 的患者^袁而 PBSCT 后患者的免疫重建恢复比 BMT 迅速^袁机理尚不清楚^袁但先前相关研究证明^袁D4⁺ 与 CD8⁺ 初始 T 细胞在移植之后的产量与 PBSCT 中输

入的移植植物的数量有一定的相关性^袁而 BMT 后初始 T 细胞数量与 BMT 中输入的量并无相关性^咱^遥

对于 CD4⁺ 或 CD8⁺ 初始 T 细胞的检测^袁只能间接地说明其胸腺再生输出功能恢复的进程^袁而无法直接定量胸腺再生输出产量^袁所以寻找一种直接的胸腺再生功能的标志^袁而初始 T 细胞的标志^袁利用 T 细胞受体重排时产生的 DNA 产物与新生 T 细胞密切相关性进行检测是今后研究的重要任务^遥这对于评价集中化治疗后的免疫重建的研究^袁免疫缺陷相关治疗和证明胸腺功能的动态性研究方面非常重要^遥

参考文献院

- 咱 Douek DC, McFarland RD, Keiser PH, et al. Changes in thymic function with age and during the treatment of HIV infection 咱
Nature, 1998, 396(6712): 690-5.
- 咱 沈柏均. 人类脐血咱天津科学出版社, 1995. 69.
- 咱 Ephraim P, Hochberg, Antoinette C, et al. Quantitation of T-cell neogenesis in vivo after allogeneic bone marrow transplantation in adults咱
Blood, 2001, 98(4): 1116-21.
- 咱 Mette D, Hazenberg, Sigrid A, et al. T-cell receptor excision circle and T-cell dynamics after allogeneic stem cell transplantation are related to clinical events咱
Blood, 2002, 99(9): 3449-53.
- 咱 Hatzakis A, Touloumi G, Karanicolas R, et al. Effect of recent thymic emigrants on progression of HIV-1 disease 咱
Lancet, 2000, 355 (9204): 599-5.
- 咱 AL-Hrath L, Marchetti G, Steffens GM. Detection of T cell receptor circles(TRECs) as biomarkers for de novo T cell synthesis using a quantitative polymerase chain reaction-enzyme linked immunosorbent assay (PCR-ELISA) 咱
J Immunol Med, 2000, 237: 187.
- 咱 Ichihara Y, Hirai M, Kurosawa Y, et al. Two Subsets of Naive T helper cells with distinct T cell receptor excision circle content in human adult peripheral blood咱
J Exp Med, 2002, 195(6): 789-4.

渊上接 1285 页冤

nociceptive pathways咱
Brain Res Brain Res Rev, 2002, 40(1-3): 240-9.
咱 Du Y, Fischer TZ, Lee LN, et al. Regionally specific effects of BDNF on oligodendrocytes咱
Dev Neurosci, 2003, 25(2-4): 116-26.
咱 马仲才, 吴晓兰, 潘 卫, 等. 脑源性神经营养因子受体 trkB 在 NIH 3T3 细胞上的表达咱
生命科学研究, 2001, 5(3): 265-9.
Ma ZC, Wu XL, Pan W, et al. Expression of brain-derived neurotrophic factor receptor trkB on NIH 3T3 cells咱
Life Sci Res, 2001, 5

(3): 265-9.

咱 杨明夏, 胡 莺, 沈 波, 等. 抗药性相关糜蛋白酶基因真核表达载体的构建和鉴定咱
南京医科大学学报渊自然版冤 2003, 23(2): 95-7.
Yang MX, Hu Y, Shen B, et al. Construction and identification of eukaryotic expression plasmid of resistance-related chymotrypsin gene咱
Acta Nanjing Med Univ (Nat Sci), 2003, 23(2): 95-7.

渊责任编辑
黄开颜冤